

**Triode mit Edelgas- und Quecksilberdampfzuführung**

Triode, inert gas and mercury vapor filled

Triode à gaz inerte et à vapeur de mercure

Tríodo con relleno de gases nobles y vapor de mercurio

**Glasausführung**

Glass type

Exécution verre

Ejecución de vidrio

**Kathode**

Cathode

Cathode

Cátodo

**direkt geheizt**

directly heated

à chauffage direct

caldeado directamente

**Montageanordnung: senkrecht mit dem Sockel nach unten**

Mounting position: Vertical, base down

Disposition de montage: verticale avec culot vers le bas

Disposición de montaje: vertical con casquillo hacia abajo

**Gewicht**

Approx. net weight

Poids

Peso

0,4 kg

0,88 lbs

a = Anode

Anode

Anode

Anodo

g = Steuergitter

Control grid

Grille de contrôle

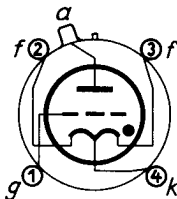
Rejilla de mando

f = Heizung

Filament

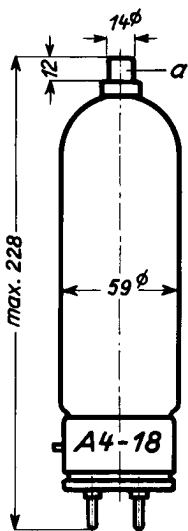
Filament

Filamento

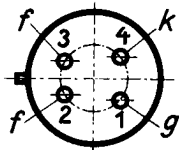


Abmessungen  
Dimensions  
Dimensions  
Dimensions

} mm



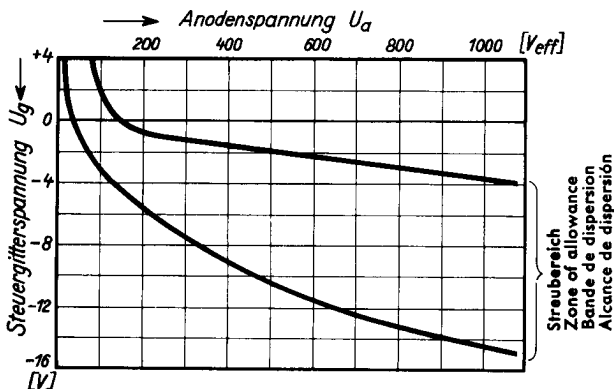
Sockelansicht von unten  
Bottom view of base  
Culot vu du bas  
Casquillo visto desde abajo



**Technische Werte**  
**Technical data**  
**Caractéristiques techniques**  
**Datos técnicos**

<b>Heizspannung</b> Filament voltage Tension de chauffage Tensión de caldeo	}	$U_f$ 2,5 V
<b>Heizstrom</b> Filament current Courant de chauffage Corriente de caldeo	}	$J_f$ norm. 12 A max. 13,5 A
<b>Toleranz der Heizspannung</b> Max. permissible filament voltage fluctuation Fluctuation admissible de la tension de chauffage Tolerancia de la tensión de caldeo	}	max. $\pm$ 5%
<b>Anheizzeit</b> Cathode-heating time Temps de chauffage Tiempo de precaldeo	}	$t_f$ min. 60 sec.
<b>Anodenspannung (Scheitelwert)</b> Anode voltage rating, forward (crest value) Tension d'anode (valeur de crête) Tensión anódica (valor cresta)	}	$U_a$ max. 1,4 kV
<b>Sperrspannung (Scheitelwert)</b> Anode voltage rating, inverse (crest value) Tension d'arrêt (valeur crête) Tensión inversa (valor cresta)	}	$U_{inv.}$ max. 1,4 kV
<b>Anodenstrom (Scheitelwert)</b> Anode current (crest value) Courant d'anode (valeur de crête) Corriente anódica (valor cresta)	}	$J_{max.}$ 40 A
<b>Anodenstrom (Mittelwert)</b> Anode current (average) Courant d'anode (valeur moyenne) Corriente anódica (valor medio)	}	$J_a$ max. 3,2 A
<b>Steuergitterspannung bei gesperrter Röhre (Scheitelwert)</b> Negative control grid bias of non-conducting tube (crest value) Tension grille contrôlée pour tube bloqué (valeur de crête) Tensión de rejilla de mandò con válvula no encendida (valor cresta)	}	$U_g$ max - 250 V

<b>Steuergitterstrom (Scheitelwert)</b> Control grid current (crest value) Courant de grille (valeur de crête) Corriente de rejilla de mando (valor cresta)	}	ig max. 0,1 A		
<b>Steuergitterstrom (Mittelwert)</b> Control grid current (average) Courant de grille (valeur moyenne) Corriente de rejilla de mando (valor medio)		ig max. 0,02 A		
<b>Gitterwiderstand</b> Max. grid resistance Résistance de grille Resistencia de rejilla		}	Rg max. 100 k Ω	
<b>Spannungsabfall an der gezündeten Röhre</b> Voltage drop during conduction Chute de tension (pendant la conduction) Caída de tensión			}	UB
<b>Integrationszeit</b> Integration time Temps d'intégration Tiempo de integración	}	τ max. 15 sec.		
<b>Jonisationszeit</b> Ionisation time Temps d'ionisation Tiempo de ionización		}	ti	10 μ sec.
<b>Freiwerdzeit</b> Recovery time Temps de recouvrement Tiempo de recobro	}		bei at à en	Ug = - 10 V      tr 500 μ sec.
		Ug = - 100 V      tr 50 μ sec.		
<b>Gitteranoden-Kapazität</b> Grid-anode capacity Capacité anode-grille Capacidad del ánodo de rejilla	}	Cag	4,3 p F (μμ F)	
<b>Eingangs-Kapazität</b> Grid-cathode capacity Capacité d'entrée Capacidad rejilla-filamento		}	Cg	14,4 p F (μμ F)
<b>Ausgangs-Kapazität</b> Anode-cathode capacity Capacité de sortie Capacidad ánodo-filamento	}		Ca	0,013 p F (μμ F)
<b>Umgebungstemperatur</b> Ambient temperature Température ambiante Temperatura de ambiente		}	min. -10° C max. +45° C	



Zündkennlinienbereich bei einer großen Zahl von Röhren gemessen. Zündkennlinie stellt Steuergitterspannung  $U_g$  in Abhängigkeit von der Anodenwechselspannung  $U_a$  (Effektivwert) am Zündpunkt dar.

Band of ignition characteristics as determined from measurements of a multitude of tubes.

Breakdown characteristic presents grid potential  $U_g$  as function of anode voltage (effective)  $U_a$  at firing point.

Bande des caractéristiques d'amorçage déterminée sur un grand nombre de tubes. La courbe des caractéristiques d'amorçage représente la tension de grille  $U_g$  en fonction de la tension alternative d'anode (valeur effective) au point d'amorçage.

Alcance de las características de ignición determinado en un gran número de válvulas medidas.

La característica de ignición representa la tensión de rejilla de mando  $U_g$  en dependencia de la tensión alterna anódica  $U_a$  (valor eficaz) en el punto de ignición.